

吊橋主塔の渦動振について

京都大学 正義 白石成人
京都大学 正義 白土博道

京都大学 正義 松本勝
京都大学 正義・白川信之

1. まえがき 実験中独立状態の吊橋主塔の渦動振について、往來から気流直角方向のたわみ振動が問題とこれまできたが、本州四国連絡橋系吊橋主塔の3次元弹性模型王用に風洞実験によれば、たわみ、ねじれともに、それぞれ強度は、た風速域において、2つの大きな応答ピークをもつ特徴ある渦動振特性が得られた。
本研究では、このような吊橋主塔の渦動振特性に着目し、吊橋主塔モル化した気流に対して主流を向いて並べたときの角柱の渦動振特性や流れの性状を調べることにより、その渦動振の発生機構について考察を試みた。

2. 実験結果と考察 実験に用いた模型は、2本の角柱の間に気流の2次元性を保つために端板をつけた本州吊橋主塔を対象にモデル化した2次元剛体模型である。

この模型は気流直角方向のたわみ振動と主塔軸を中心としたねじれ振動を評して2自由度に弹性を持て、渦動振特性を調べた。Fig.1に模型の断面を示す。吊橋主塔モデルTAに関して、Fig.2, 3のような風速と応答振幅の関係が得られた。たわみ振動については、応答ピークは2つのみであり、無次元風速7付近で、また、ねじれ振動については、相異なり、た風速域で2つの応答ピークを持ち、無次元風速7付近と10付近で渦動振が発生している。つぎに、モデルTBを対象に塔柱間隔(以下Fig.1のように、断面比Bを用いて表わす)を変化させることにより、渦動振特性の変化を調べた。Fig.4, 5はその例曲線である。また、Fig.6は3つをパラメータとして、たわみおよびねじれの発振無次元風速とBの間に相関関係があることがわかる。つまり、Bが増加するにつれて、発振風速も高風速側に移行している。

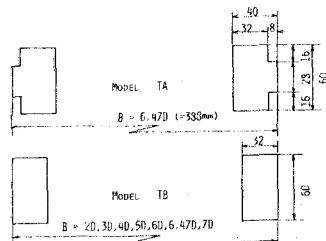


Fig.1

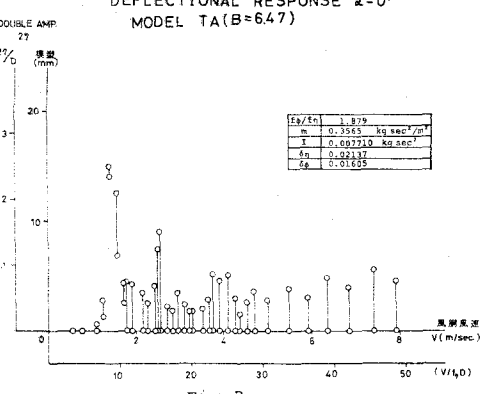
DEFLECTIONAL RESPONSE $\alpha=0^\circ$
MODEL TA(B=647)

Fig.2

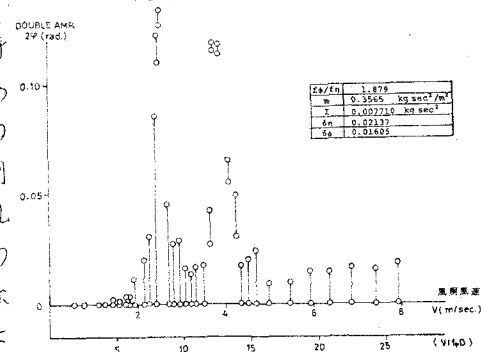
TORSIONAL RESPONSE $\alpha=0^\circ$
MODEL TA(B=647)

Fig.3

Naruhito Shiraishi, Masaru Matsumoto, Hiromichi Shiroto, Nobuyuki Sagawa

これは、塔柱間隔が主塔の渦動振発生において、1つの重要な要因になつてゐることを示す。ただし、 $U/U_{\phi D} > 5$ においてはねじれの高風速側の応答ピークを除いて、いずれもたわみ振動が7.5付近、ねじれ振動が6付近の無次元風速で発生しており、発振風速と塔の間には相関関係は見られない。ところで、応答振幅に関しては、たわみ振動についてでは、塔柱は除き、塔が増加するにしたがい小さくなる傾向をもち、ねじれ振動については、反対に塔が増加するにしたがい大きくなる傾向をもつ。本研究では風洞実験と同時に水槽実験による flow visualization の手法によつて流れの性状を調べた。その1例として $U/U_{\phi D} = 5$ のフローパターン図を示す。これにより振動にともない周期的に上流側から放さされた剥離渦が下流へ、一定の周期で下流側塔柱附近に達していくことが観察された。なお、その流下速度は一様流速に比べ小さく、0.5~0.7倍の速度になつてゐる。

まとめ 吊橋主塔の渦動振特性において、断面比と発振風速との間には相関関係が見られ、

flow visualization によつて観察された流れの性状が渦動振発生時には周期的であったことなどにより、たわみ、ねじれとともに渦動振発生機構には、上流側と下流側の塔柱からそれそれぞれ放さられる渦の相互作用が密接な関連性をもつたのと考えられる。また、塔柱間隔 $U/U_{\phi D} > 5$ 付近で非常に渦動振特性が変化するといふことが指摘できる。これは $U/U_{\phi D} > 5$ になると、下流側塔柱が上流側塔柱の渦形成領域からはずれ、1本の角柱の渦発生機構が支配的になるためと思われる。渦動振についての耐風設計上、塔柱間隔は、小さくすると固有振動数も低いため発振可能な風速域の発生頻度の高いたわみ振動の応答振幅が大きくなることを考慮すれば、この主塔間隔は大きくしたほうが耐風工学的には有利であるといえよう。

DOUBLE AMP. DEFLECTIONAL RESPONSE $\alpha=0^\circ$

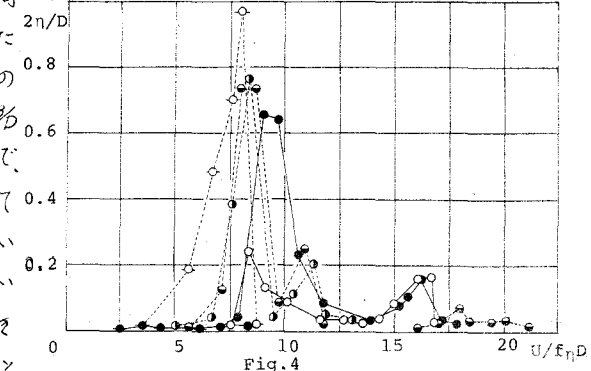


Fig.4

DOUBLE AMP. (rad.) TORSIONAL RESPONSE $\alpha=0^\circ$

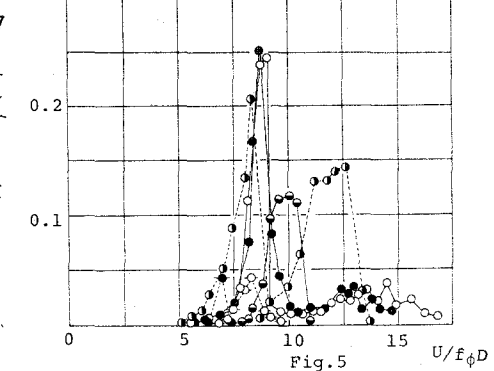


Fig.5

発振無次元風速 (1/Sr)

X 主塔

□ ハーフ断面

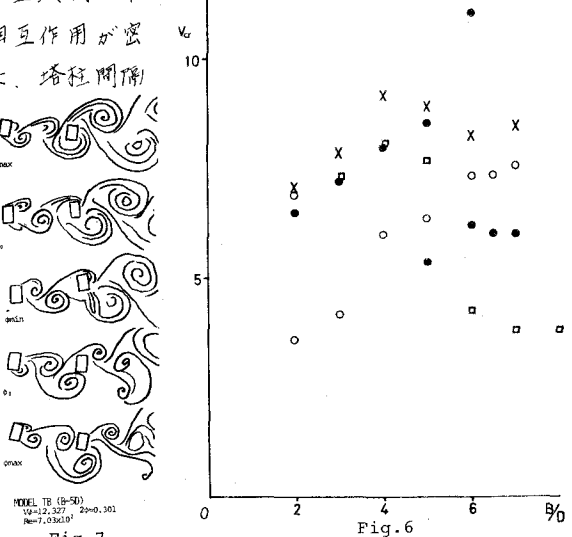


Fig.7